

同種写像暗号CSIDHの Hesse曲線による構成

小濱 大輝 (株式会社エクス)

○野本 慶一郎 (九州大学大学院数理学府)

池松 泰彦 (九州大学マス・フォア・インダストリ研究所)

縫田 光司 (九州大学マス・フォア・インダストリ研究所, 産業技術総合研究所)

小林 真一 (九州大学大学院数理学研究院)

目次

1. 導入
2. Hesse曲線の定義及び特徴付け
3. イデアル類群の作用
4. 鍵共有プロトコルと実験結果
5. 結論

耐量子計算機暗号について

- 現在普及している公開鍵暗号技術は, 量子コンピュータを用いた **Shorのアルゴリズム**により多項式時間で破られてしまう.
- 大規模な量子コンピュータの実用化に備えて, **耐量子計算機暗号**の研究・開発が必要.

2016 | NIST(米国標準技術研究所)は耐量子計算機暗号の標準化公募を開始.

2020 | 第3ラウンド選出暗号の発表.

同種写像暗号方式SIKEを含む

主な耐量子計算機暗号

- 格子暗号
- 符号ベース暗号
- 多変数多項式暗号
- **同種写像暗号**

SIKEとCSIDH

- 2022年7月, **SIKE**において基盤となっている鍵共有プロトコル**SIDH**に対する**深刻な鍵復元攻撃**^[1]が提案された.
- その攻撃法は, 同じく楕円曲線を用いる鍵共有プロトコルである**CSIDH**には適用不可.

CSIDH

虚二次体のorder \mathcal{O} に付随するイデアル類群の, ある超特異楕円曲線の \mathbb{F}_p -同型類の集合 $\text{Ell}_p(\mathcal{O})$ への作用に基づく鍵共有方式.

[1] W. Castryck, T. Decru, An efficient key recovery attack on SIDH (preliminary version), Cryptology ePrint Archive 2022/975.

先行研究と本研究

提案者	楕円曲線	定義方程式	素数 p
Castryck, et. al. ^[2] (オリジナル)	Montgomery曲線	$\mathcal{M}_A: y^2 = x^3 + Ax^2 + x$	$p \equiv 3 \pmod{8}$
Moriya, Onuki, Takagi ^[3]	Edwards曲線	$\mathcal{E}_d: x^2 + y^2 = 1 + dx^2y^2$	

公開鍵

モジュラー曲線の理論を元に, CSIDHを構成できないか?

→ Hesse曲線を用いたCSIDHの構成に成功.

[2] W. Castryck, et. al., CSIDH: An Efficient Post-Quantum Commutative Group Action, Advances in Cryptology – ASIACRYPT 2018, pp. 395–427 (2018).

[3] T. Moriya, H. Onuki, T. Takagi, How to Construct CSIDH on Edwards Curves, Topics in Cryptology – CT-RSA 2020, pp. 512–537 (2020).

先行研究と本研究

提案者	楕円曲線	定義方程式	素数 p
Castryck, et. al. ^[2]	Montgomery曲線	$\mathcal{M}_A: y^2 = x^3 + Ax^2 + x$	$p \equiv 3 \pmod{8}$
Moriya, Onuki, Takagi ^[3]	Edwards曲線	$\mathcal{E}_d: x^2 + y^2 = 1 + dx^2y^2$	
本研究	Hesse曲線	$\mathcal{H}_d: X^3 + Y^3 + Z^3 = dXYZ$	$p \equiv 2 \pmod{3}$

使用可能な素数は異なる

- Hesse曲線はEdwards曲線と違い, 一般にMontgomery曲線と同型ではない.
- したがって, Hesse曲線を用いたCSIDHは, 新しい楕円曲線のクラスに対する鍵共有プロトコルである.

目次

1. 導入
2. Hesse曲線の定義及び特徴付け
3. イデアル類群の作用
4. 鍵共有プロトコルと実験結果
5. 結論

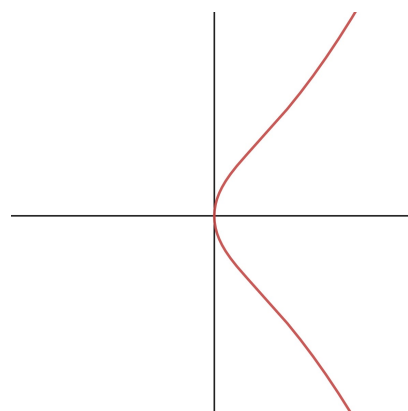
楕円曲線の定義

E : 体 K 上の楕円曲線

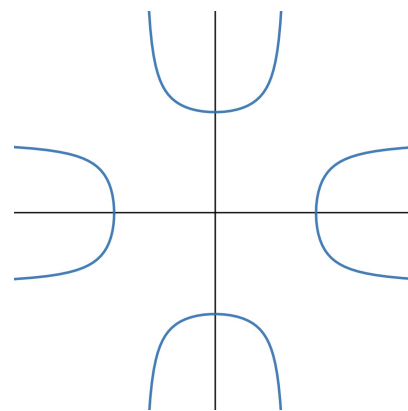


- E : K 上定義された種数1の非特異射影代数曲線.
- K -有理点 $O_E \in E(K)$ が存在する.

■ $E(K)$: O_E を単位元としてアーベル群の構造が入る.



Montgomery曲線
 $\mathcal{M}_0: y^2 = x^3 + x$



Edwards曲線
 $\mathcal{E}_2: x^2 + y^2 = 1 + 2x^2y^2$

■ 一般に, K 上の楕円曲線は非特異なWeierstrass方程式

$$Y^2Z + a_1XYZ + a_3YZ^2 = X^3 + a_2X^2Z + a_4XZ^2 + a_6Z^3$$

で定義される曲線に K 上同型である.

同種写像

E, E' : K 上の楕円曲線

$\phi: E \rightarrow E'$
 $(x, y) \mapsto (f_1(x, y), f_2(x, y))$: K 上の同種写像 \longleftrightarrow $\begin{cases} \bullet f_1, f_2: K\text{係数の有理関数} \\ \bullet \phi(O_E) = O_{E'} \end{cases}$

例 (i) $P \mapsto [n]P := P + \dots + P$ (n 倍写像)

(ii) $\pi_p: E/\mathbb{F}_p \rightarrow E/\mathbb{F}_p, (x, y) \mapsto (x^p, y^p)$ (**p -Frobenius準同型**)

■ $\text{End}_p(E) := \{\phi: E \rightarrow E \mid \mathbb{F}_p\text{上の同種写像}\}$ ($E: \mathbb{F}_p$ 上の楕円曲線)

超特異楕円曲線

■ E/\mathbb{F}_p : **超特異**楕円曲線 $\Leftrightarrow E[p] := \text{Ker}[p] = \{O_E\}$

■ $p \geq 5$ ならば, 「 **E/\mathbb{F}_p : 超特異** $\Leftrightarrow \# E(\mathbb{F}_p) = p + 1$ 」

Hesse曲線の定義・性質

Hesse曲線

$$\mathcal{H}_d: X^3 + Y^3 + Z^3 = dXYZ \quad (d^3 \neq 27)$$

$$\text{ただし, } O = O_{\mathcal{H}_d} = [0: -1: 1]$$

- $p \equiv 2 \pmod{3}$ ならば、以下が成り立つ。
 - $\mathcal{H}_0/\mathbb{F}_p: X^3 + Y^3 + Z^3 = 0$ は超特異.
 - $\mathcal{H}_0(\mathbb{F}_p)[3] = \{O, [1: 0: -1], [1: -1: 0]\}$.

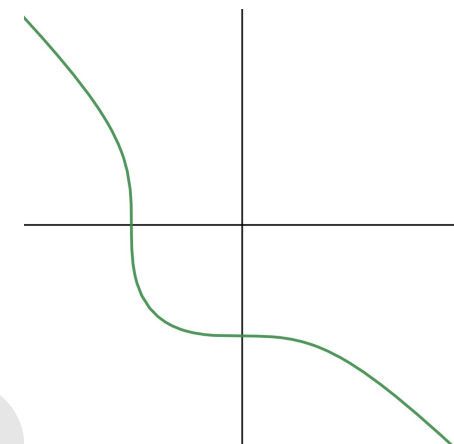
\mathcal{H}_0 : 公開鍵

定理

E/\mathbb{F}_p : 楕円曲線 ($p \equiv 2 \pmod{3}$)とする。このとき

$$\exists P \in E(\mathbb{F}_p)[3] \setminus \{O_E\} \Rightarrow \exists d \in \mathbb{F}_p \exists \phi: E \simeq \mathcal{H}_d \text{ over } \mathbb{F}_p.$$

特に $\phi(P) = [1: 0: -1]$ と取れば、 $d \in \mathbb{F}_p$ は一意的。

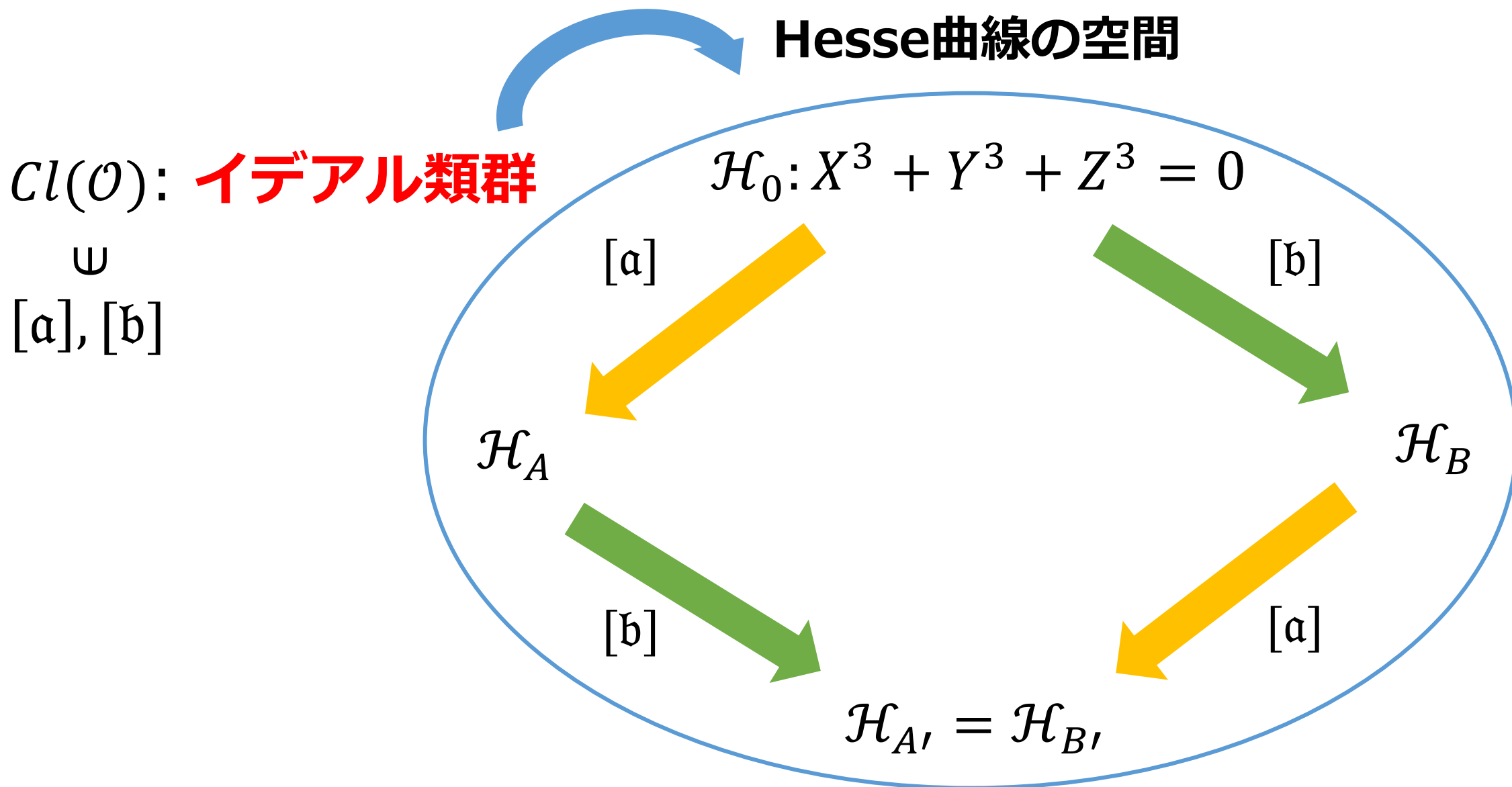


$$x^3 + y^3 + 1 = 0$$

目次

1. 導入
2. Hesse曲線の定義及び特徴付け
3. **イデアル類群の作用**
4. 鍵共有プロトコルと実験結果
5. 結論

Hesse曲線を用いたCSIDHのイメージ図



イデアル類群の定義

\mathcal{O} : 代数体 K のorder

$I(\mathcal{O}) = \{\mathcal{O}\text{の可逆な分数イデアル}\}$

$P(\mathcal{O}) = \{0\text{でない単項イデアル}\}$



$\text{Cl}(\mathcal{O}) := I(\mathcal{O})/P(\mathcal{O})$ **イデアル類群**

例

$$K = \mathbb{Q}(\sqrt{-p})$$

$$\mathcal{O} = \mathbb{Z}[\sqrt{-p}], \quad \mathbb{Z}\left[\frac{-1+\sqrt{-p}}{2}\right], \quad \dots$$

- イデアル類群は**有限群**.
- $[\mathfrak{a}] \in \text{Cl}(\mathcal{O})$ の代表元は整イデアルとして取れる.
- 適当な条件の下, イデアル類群は**楕円曲線の集合に作用**する.
- 作用により \mathcal{H}_d から $\mathcal{H}_{d'}$ が構成できる.

どのように作用の実現をする？
具体的に d' を与えるには？

作用計算のアイデア1

- Hesse曲線に対するイデアル類群の作用を以下で定義.

$$[a] \mathcal{H}_d := \mathcal{H}_d / \mathcal{H}_d[a], \quad \mathcal{H}_d[a] := \bigcap_{\alpha \in a} \text{Ker}(\alpha)$$

$$\text{End}_p(\mathcal{H}_d) \simeq \mathcal{O}$$

$$\Downarrow$$

$$\pi_p$$

$\mathbb{Q}(\sqrt{-p})$ のorder

- CSIDHでは, $\ell \mid p + 1$ を満たす奇素数 ℓ に対する, 以下のイデアルの作用を考える.

$$\mathbf{I} := (\ell, \pi_p - \mathbf{1}), \quad \bar{\mathbf{I}} := (\ell, \pi_p + \mathbf{1})$$

$$\mathcal{H}_d[\mathbf{I}] = \left\langle \left[\frac{p+1}{\ell} \right] P \right\rangle \quad P \in \mathcal{H}_d(\mathbb{F}_p) \text{ s.t. } \left[\frac{p+1}{\ell} \right] P \neq 0$$

$$\mathcal{H}_d[\bar{\mathbf{I}}] = \left\langle \left[\frac{p+1}{\ell} \right] Q \right\rangle \quad Q \in \mathcal{H}_d(\mathbb{F}_{p^2}) \text{ s.t. } \left[\frac{p+1}{\ell} \right] Q \neq 0 \text{ かつ } \pi_p(Q) = -Q$$

作用計算のアイデア2

- イデアル類群の作用及び, $[a] \mathcal{H}_d \simeq \mathcal{H}_{d'}$ となる $d' \in \mathbb{F}_p$ は **Veluの公式** を用いて実装.

定理 (Hesse曲線におけるVeluの公式)^[4]

$F = \{[s_i : t_i : 1]\}_{i=1}^n \cup \{O\}$: \mathcal{H}_d の有限部分群 ($3 \nmid \#F = n + 1, \forall i, s_i t_i \neq 0$).

このとき写像

$$P \mapsto \left[\prod_{R \in F} X(P + R) : \prod_{R \in F} Y(P + R) : \prod_{R \in F} Z(P + R) \right]$$

は $\text{Ker } \phi = F$ となる同種写像 $\phi: \mathcal{H}_d \rightarrow \mathcal{H}_{d'}$ を定める. $d' := \frac{(1 - 2n)d + \sum_{i=1}^n \frac{1}{s_i t_i}}{\prod_{i=1}^n s_i}$

[4] Broon, F. L. P., Dang, T., Fouotsa, E. and Moody, D.: Isogenies on twisted Hessian curves, Journal of Mathematical Cryptology, Vol. 15, No. 1, pp. 345–358, (2021).

目次

1. 導入
2. Hesse曲線の定義及び特徴付け
3. イデアル類群の作用
4. 鍵共有プロトコルと実験結果
5. 結論

Hesse曲線を用いた鍵共有プロトコル

公開鍵	条件
素数 p	$p \equiv 2 \pmod{3}$
$n \in \mathbb{Z}$	$n > 0$
5以上の素数 ℓ_1, \dots, ℓ_n	$\forall i, \ell_i \mid p + 1$
$m \in \mathbb{Z}$	
$\mathcal{H}_0/\mathbb{F}_p : X^3 + Y^3 + Z^3 = 0$	

秘密鍵	条件
Alice: $(e_1, e_2, \dots, e_n) \in \mathbb{Z}^n$	各成分は区間 $[-m, m]$ に属するように一様ランダムに生成
Bob: $(d_1, d_2, \dots, d_n) \in \mathbb{Z}^n$	

プロトコル

Alice

$$[\begin{smallmatrix} e_1 \\ \vdots \\ e_n \end{smallmatrix}] \mathcal{H}_0 \xrightarrow{\cong} \mathcal{H}_A$$

$A \in \mathbb{F}_p$ を送る

$$[\begin{smallmatrix} e_1 \\ \vdots \\ e_n \end{smallmatrix}] \mathcal{H}_B \xrightarrow{\cong} \mathcal{H}_{A'}$$

Bob

$$[\begin{smallmatrix} d_1 \\ \vdots \\ d_n \end{smallmatrix}] \mathcal{H}_0 \xrightarrow{\cong} \mathcal{H}_B$$

$B \in \mathbb{F}_p$ を送る

$$[\begin{smallmatrix} d_1 \\ \vdots \\ d_n \end{smallmatrix}] \mathcal{H}_A \xrightarrow{\cong} \mathcal{H}_{B'}$$

セッション鍵: $S := A' = B'$

選択パラメータと実験結果

- 標準的なCSIDHの安全性解析に基づいて, パラメータを設定する.

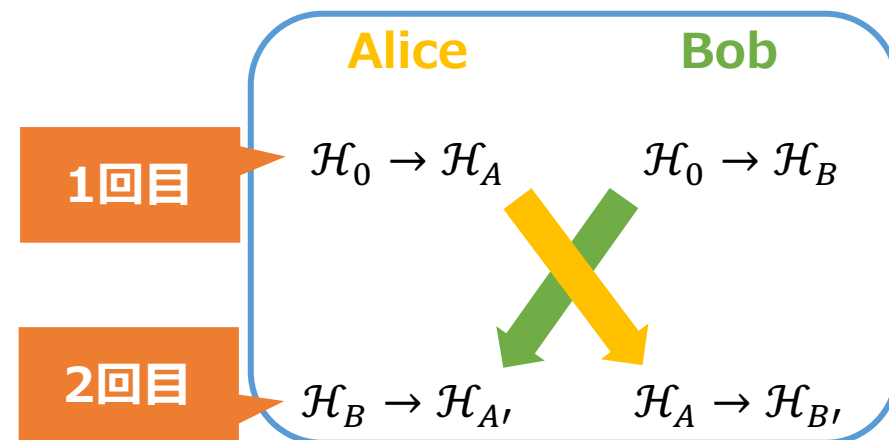
p	$\lceil \log_2 p \rceil$	n	m	Aのサイズ
$12\ell_1\ell_2\cdots\ell_{73} - 1$	511	73	5	512bit

ただし, ℓ_1, \dots, ℓ_{72} は5以上の素数を小さい順に72個並べたもの, $\ell_{73} = 587$.

- Aliceによる公開鍵からセッション鍵の生成を1000回行った際の実行時間の平均.

	1回目の群作用	2回目の群作用
時間	3,931ms	3,929ms

16GBメモリ 3.20GHz Apple M1チップを用いたMagmaでの実装



参考

論文[1]のTable 2において, オリジナルなCSIDHでの10000回の鍵共有の実行平均は 40.8ms であったと報告されている.

目次

1. 導入
2. Hesse曲線の定義及び特徴付け
3. イデアル類群の作用
4. 鍵共有プロトコルと実験結果
5. 結論

結論

- モジュラー曲線の理論のアイデアを用いて, **Hesse曲線**を用いた CSIDHを構成した.
- その構成では, **位数3の \mathbb{F}_p -有理点の存在性**に基づく, Hesse曲線の**表示の一意性**が重要である.
- 128bit安全性に対する実装実験を行った. (素朴な実装ではオリジナルの約100倍の実行時間となった.)

Future Work

- ・ モジュラー曲線の理論を用いたHesse曲線以外の楕円曲線に対するCSIDHの構成
- ・ 計算処理の大幅な高速化